

ВИЗНАЧЕННЯ НАПРУЖЕНЬ У ЗОНІ НЕОДНОРІДНОГО СПІРАЛЬНОГО ЗВАРНОГО ШВА У ТРУБОПРОВОДІ

З використанням теорії тонких оболонок Кірхгофа-Лява і методу дисторсій побудовано математичну модель для визначення у трубопроводі поля неоднорідних вздовж спірального зварного шва залишкових напружень. Порівняно залишкові напруження для трубопроводів з коловим та спіральним зварювальними швами.

У нафтогазовій промисловості широко використовують трубопроводи зі спіральним зварним швом, тобто розташованим уздовж гвинтової лінії. При цьому залишкові напруження не є однакові вздовж лінії зварного шва, оскільки кореневий шов, як і всі наступні проходи, виконують на окремих послідовних ділянках, тобто залишкові напруження у зоні кінця попередньої ділянки і початку наступної відрізняються від напружень в інших місцях зварного з'єднання.

Для оцінки роботоздатності таких трубопроводів необхідний комплексний підхід, зокрема, відомості про розподіл залишкових напружень в місцях зварних з'єднань та в пришовній зоні. Дослідженню температурних полів напружень стану у звареній по спіралі циліндричній оболонці присвячені праці [3–5]. Розподіл залишкових напружень за відомого поля пластичних деформацій біля кільцевого зварного шва в магістральному трубопроводі знайдено раніше [2, 8].

Формулювання задачі. Для оцінки поля залишкових напружень біля спірального шва у трубі моделюватимемо її тонкою ізотропною круговою циліндричною оболонкою завтовшки $2h$ під дією локалізованих зварювальних деформацій (рис. 1). Введемо на серединній поверхні оболонки систему координат $O\alpha\beta\gamma$, де α і β віднесені до радіуса R оболонки відстані вздовж твірної і напрямного кола циліндричної оболонки; γ – координата вздовж зовнішньої нормалі до серединної поверхні оболонки. Нехай на серединній поверхні оболонки розташована гвинтова лінія, що збігається зі спіральним зварювальним швом на серединній поверхні і направлена під кутом φ до координатної лінії $\beta = \text{const}$. Позначимо через τ дотичну до гвинтової лінії, ν – нормаль, $n_1 = \cos(\varphi)$, $n_2 = \sin(\varphi)$ – напрямні косинуси. Нова система координат $O\alpha'\beta'\gamma$ отримана

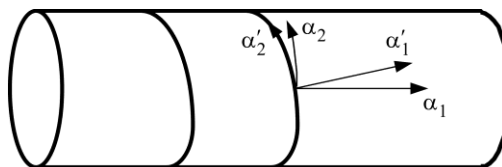


Рис. 1.

поворотом системи координат $O\alpha\beta\gamma$ на кут φ (вісь $O\alpha'$ направлена вздовж нормалі, а вісь $O\beta'$ – уздовж дотичної τ до гвинтової лінії).

Використовуючи відомі розрахункові і експериментальні дані [6, 7, 11], поле локалізованих біля шва трубопроводу періодичних по гвинтовій лінії власних залишкових пластичних деформацій $e_{\beta'\beta'}^0$ і $e_{\alpha'\alpha'}^0$ за симетрії відносно перерізу $\alpha' = 0$ апроксимуємо виразами [2]

$$\hat{e}_{\beta'\beta'}^0(\alpha', \beta', \gamma) = -\mathbf{E}_1^* f_1(\gamma) \tilde{e}_{\beta'\beta'}^0(\alpha', \beta'),$$

$$\hat{e}_{\alpha'\alpha'}^0(\alpha', \beta', \gamma) = -\mathbf{E}_2^* f_2(\gamma) \tilde{e}_{\alpha'\alpha'}^0(\alpha', \beta'), \quad (1)$$

де

$$\tilde{e}_{\beta'\beta'}^0(\alpha', \beta') = \tilde{\varphi}_1(\alpha') S^0(\alpha') \tilde{u}(\beta'),$$

$$\tilde{e}_{\alpha'\alpha'}^0(\alpha', \beta') = \tilde{\varphi}_2(\alpha') S^0(\alpha') \tilde{u}(\beta'),$$

$$\tilde{u}(\beta') = (1 + A \cos(k\beta')),$$

$$S^0(\alpha') = 1 \text{ при } |\alpha'| \leq \alpha'_1, \quad S^0(\alpha') = 0, \text{ якщо } |\alpha'| > \alpha'_1,$$

$$f_i(\gamma) = 1 - m_i(1 - \gamma/h)^2,$$

$$\tilde{\varphi}_i(\alpha') = 1 + s_i \alpha'^2 / \alpha_1'^2 - (3 + 2s_i) \alpha'^4 / \alpha_1'^4 + (2 + s_i) \alpha'^6 / \alpha_1'^6 \quad (i = 1, 2),$$

$\alpha'_1 = b_1 / R$ – півширина зони пластичних деформацій, \mathbf{E}_i^* , m_i ($i = 1, 2$), s_i , A – числові параметри, значення яких разом з величиною α'_1 на практиці знаходять за допомогою експериментальних методів. Функції $f_i(\gamma)$ ($i = 1, 2$), $\tilde{\varphi}(\alpha')$ та $\tilde{u}(\beta')$ характеризують нерівномірність розподілу залишкових деформацій відповідно по товщині, перпендикулярно до зварного шва та вздовж гвинтової лінії.

З урахуванням (1) вирази для поля пластичних власних деформацій середньої поверхні тонкої циліндричної оболонки у системі координат α', β' набувають вигляду [5]

$$\begin{aligned} \varepsilon_{\beta'\beta'}^0(\alpha', \beta') &= -\mathbf{E}_1^* \left(1 - \frac{4m_1}{3}\right) \varphi(\alpha') \tilde{u}(\beta') S^0(\alpha'), \\ \varepsilon_{\alpha'\alpha'}^0(\alpha', \beta') &= -\mathbf{E}_1^* \left(1 - \frac{4m_2}{3}\right) \varphi(\alpha') \tilde{u}(\beta') S^0(\alpha'), \\ \varepsilon'_{\alpha'\beta'} &= \kappa'_{\alpha'\beta'} = 0, \\ \kappa_{\beta'\beta'}^0(\alpha', \beta') &= -\frac{2\mathbf{E}_1^* m_1}{h} \varphi(\alpha') \tilde{u}(\beta') S^0(\alpha'), \\ \kappa_{\alpha'\alpha'}^0(\alpha', \beta') &= -\frac{2\mathbf{E}_1^* m_1}{h} \varphi(\alpha') \tilde{u}(\beta') S^0(\alpha'). \end{aligned} \quad (2)$$

Розв'язок задачі. Систему ключових рівнянь у переміщеннях середньої поверхні за гіпотезою Кірхгофа–Лява для тонких оболонок [2] запишемо в системі координат $O\alpha'\beta'$:

$$\sum_{i=1}^3 L_{ij} u_i = g_j(\varepsilon_{\alpha'\alpha'}^0, \varepsilon_{\beta'\beta'}^0, \kappa_{\alpha'\alpha'}^0, \kappa_{\beta'\beta'}^0) \quad (j = 1..3), \quad (3)$$

$$L_{21} = L_{12}, \quad L_{32} = L_{23}.$$

Тут $u_1 = u$, $u_2 = v$, $u_3 = w$ – переміщення і прогин середньої поверхні оболонки, а L_{ij} – диференціальні оператори не вище четвертого порядку, в які входять параметр тонкостінкості оболонки $c_1 = h / \sqrt{3}R$, пружні сталі оболонки, а також напрямні косинуси n_1 та n_2 .

Фундаментальний розв'язок системи (3) з урахуванням (2) через лінійність задачі є суперпозицією розв'язків двох рівнянь:

$$DG_o(\alpha') = \delta(\alpha'),$$

$$DG_k(\alpha', \beta') = \delta(\alpha') \cos(k\beta'),$$

де

$$G_0(\alpha') = -\text{Im} \sum_{n=1}^2 \frac{1}{\Delta'_0(s'_{0n})} \left(e^{is'_{0n}|\alpha'|} + \frac{is'_{0n}^3 |\alpha'|^3}{6} - i's'_{0n} |\alpha'| \right), \quad (4)$$

$$G_k(\alpha', \beta') = -\frac{1}{k^7} \text{Im} \sum_{n=1}^4 \frac{e^{kis'_{kn}|\alpha'|}}{\Delta'_k(s'_{kn})} \cos(k\beta').$$

Тут D – детермінант матриці диференційних операторів системи ключових рівнянь (3) [10]; s'_{0n} та s'_{kn} – корені характеристичних поліномів $\Delta_r(s'_{rn})$ ($r = 0, k$) [10], які залежать від параметра тонкостінності s_1 та

пружних сталей матеріалу оболонки, $\Delta'_n = \left. \frac{\partial \Delta(s')}{\partial s'} \right|_{s'=s'_n}$.

За допомогою згортки фундаментального розв'язку з компонентами поля дисторсій тонкої оболонки ε_{ij}^0 , κ_{ij}^0 ($i, j = \alpha', \beta'$) знаходять ключові функції φ_i, ψ_i ($i = 1..3$) [8] задачі про рівновагу тонкої циліндричної оболонки з пластичними деформаціями.

Нехай вектори $\vec{N}' = (\bar{N}'_1, \bar{N}'_2, \bar{S}')$ та $\vec{M}' = (\bar{M}'_1, \bar{M}'_2, \bar{H}')$, де $\bar{N}'_1, \bar{N}'_2, \bar{S}'$ – відповідно нормальні та зсувне зусилля, $\bar{M}'_1, \bar{M}'_2, \bar{H}'$ – згинні та крутильний моменти, що діють уздовж координатних ліній $0\alpha'$ та $0\beta'$.

Їх визначають через ключові функції так:

$$\vec{N}' = (N_\varphi \vec{\varphi} + N_\psi \vec{\psi}), \quad \vec{M}' = (M_\varphi \vec{\varphi} + M_\psi \vec{\psi}), \quad (5)$$

тут $\vec{\varphi} = (\varphi_1, \varphi_2, \varphi_3)$, $\vec{\psi} = (\psi_1, \psi_2, \psi_3)$.

У матриці (5) $N_\varphi, N_\psi, M_\varphi, M_\psi$ є диференціальними операторами восьмого порядку, які залежать від параметра тонкостінності оболонки s_1 та пружних сталей (модуля Юнга E та коефіцієнта Пуассона μ) матеріалу.

Враховавши (4), (5), запишемо інтегральні зображення для зусиль $\bar{N}'_1, \bar{N}'_2, \bar{S}'$ і моментів $\bar{M}'_1, \bar{M}'_2, \bar{H}'$, що відповідають полю дисторсій (2), яке зосереджене на одному витку гвинтової лінії:

$$\begin{aligned} \bar{N}'_i(\alpha', \beta') &= \int_{-\alpha_1}^{\alpha_1} \left(\sum_{k=1}^2 (N_{ik}^\varphi(\alpha' - \tau, \beta') + N_{ik}^\psi(\alpha' - \tau, \beta')) \tilde{\varphi}_{3-k}(\tau) \right) d\tau, \\ \bar{S}'(\alpha', \beta') &= \int_{-\alpha_1}^{\alpha_1} \left(\sum_{k=1}^2 (N_{3k}^\varphi(\alpha' - \tau, \beta') + N_{3k}^\psi(\alpha' - \tau, \beta')) \tilde{\varphi}_{3-k}(\tau) \right) d\tau, \\ \bar{M}'_i(\alpha, \beta) &= \int_{-\alpha_1}^{\alpha_1} \left(\sum_{k=1}^2 (M_{ik}^\varphi(\alpha' - \tau, \beta') + M_{ik}^\psi(\alpha' - \tau, \beta')) \tilde{\varphi}_{3-k}(\tau) \right) d\tau, \\ \bar{H}(\alpha, \beta) &= \int_{-\alpha_1}^{\alpha_1} \left(\sum_{k=1}^2 (M_{3k}^\varphi(\alpha' - \tau, \beta') + M_{3k}^\psi(\alpha' - \tau, \beta')) \tilde{\varphi}_{3-k}(\tau) \right) d\tau, \end{aligned} \quad (6)$$

($i = 1, 2$),

$$N_{lr}^j(\alpha') = -\mathbf{E}_{3-r}^* \left(1 - \frac{4m_{3-r}}{3}\right) \operatorname{Im} \left(\sum_{n=1}^2 \frac{N_{rl0}^j(s'_{0n}) e^{is'_{0n}|\alpha'|}}{\Delta'_0(s'_{0n})} + 2A \sum_{n=1}^4 \frac{N_{rlk}^j(s'_{kn}) e^{is'_{kn}|\alpha'|}}{\Delta'_k(s'_{kn})} \cos(k\beta') - N_{rl}^j D(G_0(\alpha') + G_k(\alpha', \beta')) \right),$$

$$M_{lr}^j(\alpha') = -\mathbf{E}_{3-r}^* \left(\frac{4}{3} m_{3-r}\right) \operatorname{Im} \left(\sum_{n=1}^2 \frac{M_{rl0}^j(s'_{0n}) e^{is'_{0n}|\alpha'|}}{\Delta'_0(s'_{0n})} + 2A \sum_{n=1}^4 \frac{M_{rl1}^j(s'_{kn}) e^{is'_{kn}|\alpha'|}}{\Delta'_k(s'_{kn})} \cos(k\beta') - M_{rl}^j D(G_0(\alpha') + G_k(\alpha', \beta')) \right).$$

Тут $N_{klr}^j(s'_{rn})$, $M_{klr}^j(s'_{rn})$ ($j = \Phi, \Psi$, $k = 1..3$, $r = 0, k$) – поліноми восьмого порядку від коренів характеристичних поліномів s_{rn} ($r = 0..∞$), N_{kl}^j , M_{kl}^j коефіцієнти при восьмих степенях s_{rn} у поліномах $N_{klr}^j(s'_{rn})$, $M_{klr}^j(s'_{rn})$, D – детермінант диференціальних операторів системи диференціальних рівнянь (3).

Сумарні зусилля і моменти, зумовлені полем дисторсій двох сусідніх витків, рівні

$$\bar{N}_i^0(\alpha', \beta') = \bar{N}_i(\alpha', \beta') + \bar{N}_i(a - \alpha', \beta'), \quad (7)$$

$$\bar{M}_i^0(\alpha', \beta') = \bar{M}_i(\alpha', \beta') + \bar{M}_i(a - \alpha', \beta'),$$

де $a = 4\pi R n_2$ – найкоротша відстань між двома сусідніми витками гвинтової лінії. Вплив поля дисторсій від інших витків можна знехтувати, адже зусилля і моменти є загасальні функції.

Залишкові напруження в довільній точці оболонки визначають за формулами [9]

$$\sigma_{\alpha'\alpha'}(\alpha') = \frac{1}{2h} \left\{ \bar{N}_1^0(\alpha') + \frac{3\bar{M}_1^0(\alpha')\gamma}{h^2} + \frac{E}{1-\mu^2} (\varepsilon_{\alpha'\alpha'}^0(\alpha') + \mu\varepsilon_{\beta'\beta'}^0(\alpha') + \kappa_{\alpha'\alpha'}^0(\alpha')\gamma + \mu\kappa_{\beta'\beta'}^0(\alpha')\gamma - e_{\alpha'\alpha'}^0(\alpha') - \mu e_{\beta'\beta'}^0(\alpha')) \right\},$$

$$\sigma_{\alpha'\beta'}(\alpha') = \frac{1}{2h} \left\{ \bar{S}^0(\alpha') + \frac{3\bar{H}^0(\alpha')\gamma}{h^2} \right\}, \quad (8)$$

$$\sigma_{\beta'\beta'}(\alpha') = \frac{1}{2h} \left\{ \bar{N}_2^0(\alpha') + \frac{3\bar{M}_2^0(\alpha')\gamma}{h^2} + \frac{E}{1-\mu^2} (\mu\varepsilon_{\alpha'\alpha'}^0(\alpha') + \varepsilon_{\beta'\beta'}^0(\alpha') + \mu\kappa_{\alpha'\alpha'}^0(\alpha')\gamma + \kappa_{\beta'\beta'}^0(\alpha')\gamma - \mu e_{\alpha'\alpha'}^0(\alpha') - e_{\beta'\beta'}^0(\alpha')) \right\}.$$

Числові дослідження. За допомогою методу механічних квадратур [1] розраховали теоретичне значення залишкових напружень $\sigma_{\alpha'\alpha'}$ та $\sigma_{\beta'\beta'}$ на лицьових поверхнях трубопроводу. Обчислювали для таких значень геометричних і механічних параметрів: $R = 0,71$ м, $h = 0,0197$ м, $E = 200$ ГПа, $\nu = 0,3$, $\mathbf{E}_1^* = 7,5 \cdot 10^{-4}$, $\mathbf{E}_2^* = 2\mathbf{E}_1^*$, $b_1 = R\alpha'_1 = 0,019$ м, $m_1 = 0,0625$, $m_2 = 0,125$, $s_1 = 1$, $k = 3$, $A = 2$. Залежності величин $\sigma_{\alpha'\alpha'}$ та $\sigma_{\beta'\beta'}$ від координати $z' = R\alpha'$ для різних значень β' зображені на рис. 2 і 3. Лінії 1 відповідають залишковим напруженням при $\gamma = h$, лінії 2 – $\gamma = -h$. Коловому шву ($n_1 = 0$),

якщо $\beta' = \pi/9$, відповідають суцільні лінії, якщо $\beta' = \pi/18$ – штрихові, спіральному шву ($n_1 = \pi/6$), якщо $\beta' = \pi/9$ – пунктирні, а якщо $\beta' = \pi/18$ – штрих-пунктирні.

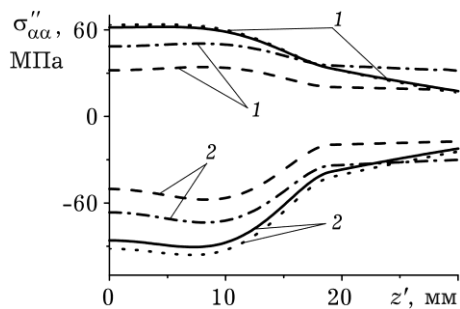


Рис. 2.

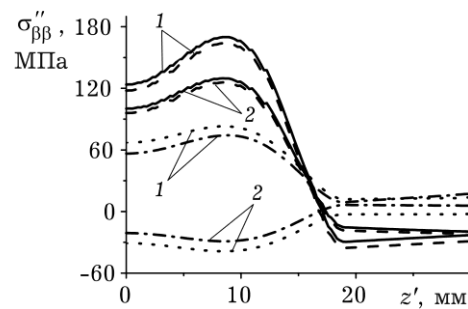


Рис. 3.

Числовий аналіз свідчить, що неоднорідність поля пластичних деформацій уздовж зварного шва відчутніше впливає на колові напруження $\sigma_{\alpha'\alpha'}$ ніж на радіальні $\sigma_{\beta'\beta'}$. При цьому для спірального зварного шва радіальні напруження на внутрішній лицевій поверхні є стискальні.

Висновки. Знаходження залишкових напружень у трубопроводі з неоднорідними вздовж зварювального шва пластичними деформаціями зведено до розв'язку задачі про рівновагу тонкої циліндричної оболонки Кірхгофа-Лява, що знаходиться в полі дисторсій, якими моделюють поле пластичних деформацій. Числовий аналіз дав можливість порівняти залишкові напруження біля колового та спірального зварювальних швів.

1. Каландия А. И. Математические методы двухмерной теории упругости. – М.: Наука, 1973. – 304 с.
2. Кир'ян В. І., Осадчук В. А., Николишин М. М. Механіка руйнування зварних з'єднань металоконструкцій. – Львів: СПОЛЮМ, 2007. – 320 с.
3. Максимович В. Н., Пляцко Г. В. Напряжения в полой цилиндре при сварке по спирали // Прикл. механика. – 1972. – 8, № 4. – С. 116–120.
Te same: Plyatsko G. V., Maksimovich V. N. Stresses in a hollow cylinder heated along a spiral // Int. Appl. Mech. – 1972. – 8, № 4. – P. 437–441.
4. Максимович В. Н., Пляцко Г. В. Температурные поля и напряжения при локальном отпуске листовых сварных швов // Изв. АН СССР. – 1972. – № 4. – С. 187–191.
5. Максимович В. Н., Пляцко Г. В. Температура в полой цилиндре при нагреве по спирали // Инж.-физ. журн. – 1975. – № 2. – С. 371–372.
6. Махненко В. И. Расчетные методы исследования сварочных напряжений и деформаций. – К.: Наук. думка, 1976. – 320 с.
7. Недосека А. Я. Основы расчета и диагностики сварных конструкций. – К.: ИНДПРОМ, 2001. – 816 с.
8. Осадчук В. А., Банахевич Ю. В., Иванчук О. О. Визначення напруженого стану магістральних трубопроводів в зоні кільцевих зварних швів // Фіз.-хім. механіка матеріалів. – 2006. – 42, № 2. – С. 99–104.
Te same: Osadchuk V. A., Banakhevych Yu. V., Ivanchuk O. O. Determination of the stressed state of main pipelines in the zones of circular welds // Mater. Sci. – 2006. – 42, № 2. – P. 256–262.
9. Подстригач Я. С., Осадчук В. А., Марголин А. М. Остаточные напряжения, длительная прочность и надежность стеклоконструкций. – К.: Наук. думка, 1991. – 256 с.

10. Прокопович И. Б., Сенькив Л. М., Лаушнык И. П. Упругое равновесие непологих цилиндрических оболочек с разрезами // Прикладные проблемы прочности и пластичности. – 1996. – Вып. 54. – С. 175–184.
11. Экспериментальные методы исследования деформаций и напряжений: Справ. пос. / Б. С. Касаткин, А. Б. Кудрин, Л. М. Лобанов и др. – К.: Наук. думка, 1981. – 584 с.

ОПРЕДЕЛЕНИЕ НАПРЯЖЕНИЙ В ЗОНЕ НЕОДНОРОДНОГО СПИРАЛЬНОГО СВАРНОГО ШВА В МАГИСТРАЛЬНОМ ТРУБОПРОВОДЕ

С использованием теории тонких оболочек Кирхгофа-Лява и метода дисторсий построена математическая модель для определения в трубопроводе поля неоднородных вдоль спирального сварного шва остаточных напряжений. Сравнены остаточные напряжения для трубопроводов с круговым и спиральным сварочными швами.

DETERMINATION OF STRESSES IN NONHOMOGENEOUS SPIRAL WELD ZONE IN THE PIPELINE

Using the Kirchhoff-Love thin shell theory and distortion method the mathematical model for determination of nonhomogeneous along spiral weld residual stresses in a pipeline is built. Comparison of residual stresses for the case of pipelines with circular and spiral welds is done.

Ін-т прикл. проблем механіки і математики
ім. Я. С. Підстригача НАН України, Львів

Одержано
07.09.15